

## تحضير و تشخيص معقد الاتبلغايت-بولي ازوميتافنيلين باراكريسول كمادة نانوية مركبة

علاء عبد الكريم ابراهيم

تقي الدين عبد الهادي حمدان

يوسف ابراهيم محمد ابو زيد

قسم الكيمياء/كلية التربية للعلوم الصرفة (ابن الهيثم)/ جامعة بغداد

استلم في: 19/حزيران/2016، قبل في: 6/ايلول/2016

### الخلاصة

تم في هذه الدراسة تحضير و تشخيص مادة مركبة نانوية جديدة من خلال بلمرة الميتافنيلين داي امين المتموضع بين طبقات طين الاتبلغايت العراقي مع مادة الباراكريسول اذ بينت النتائج ان البوليمر النامي ادى الى عزل طبقات الالومينوسليكا لطين الاتبلغايت على شكل صفائح نانوية ثنائية البعد مغمورة في كتلة البوليمر المحضر مع فقدان الترتيب الليفي الاصلي لطين الاتبلغايت من خلال فك الالتفاف الحلزوني لطبقات الطين عن بعضها البعض.

**الكلمات المفتاحية:** المواد المركبة، بوليمرات الازو، الاتبلغايت، ميتافنيلين داي امين، باراكريسول.

## المقدمة

يصنف الانتباغيات كاحد المواد الطبيعية ذات البنية الليفية على المستوى النانومتري [1] و نظرا لكلفته الواطئة و مساحته السطحية العالية و تركيبه المسامي و الفعالية العالية في مجال التبادل الايوني فان هذه الصفات اكسبته اهمية كبيرة في مجال معالجة المياه وازالة التلوث [2] كما ان قابليته على التداخل القوي مع بعض المواد العضوية لا سيما المونومرية [3] فتحت الباب لدمج هذه الصفات الفريدة لهذا الطين مع حقل المواد البوليمرية اذ ان هذا الاتجاه يعد اليوم من اهم الاتجاهات في الحصول على مواد مركبة ذات بنية خاصة على المقياس النانومتري [4] و يعرف هذا المجال من البحوث بالمواد الطينية البوليمرية المركبة ذات الطبيعة النانوية polymer-clay nano-composite materials و تتراوح مجالاته التطبيقية من الحصول على مواد ذات صفات ميكانيكية عالية الى تلك ذات الصفات الفريدة في مجال العزل الحراري و الكهربائي و ازالة التلوث و العوامل المساعدة و غيرها [5-8] وتعتمد خصائص هذه المواد في نهاية المطاف على تكوينها المجهرى والتفاعلات البينية بين مكوناتها. ومع ذلك، فإن خصائصها تتأثر بشكل كبير بابعادها المجهرية طريقة حشوها [9].

تهدف هذه الدراسة الى تحضير مادة نانوية مركبة من طين الانتباغيت مع بوليمر من نوع الازو ومن ثم تشخيص البنية البلورية لها وطبيعة ترابطها اضافة الى المظهر العام لها على المستوى المجهرى.

## طريقة العمل

### الاجهزة المستعملة:

استعملت الاجهزة الآتية في هذه الدراسة لتشخيص الانتباغيت و الانتباغيت المعدل: جهاز حيود الاشعة السينية X-ray Shimadzu. Iraction-1 (8400 s), مطياف الاشعة تحت الحمراء نوع ( Diffraction- 6000 shimaduz). مجهر القوى الذري ( Japan Scanning Electron Microscopy- SPM AA3000 USA 2008 ) المختبر الخدمي المختبر الخدمي كلية التربية للعلوم الصرفة ابن الهيثم. المجهر الالكتروني الماسح ( Scanning Electron Microscopy) الجامعة التكنولوجية قسم النانو. اما اثناء معالجة وتعديل الطين فتم استعمال الاجهزة التالية: مطياف الاشعة المرئية / فوق البنفسجية نوع (Double beam, Shimadzu. 1800, Japan). ميزان حساس نوع ( 0.0001 g± ) ( Sartorius Lab. BL 210 S, Germany). فرن مختبري نوع ( DaihanLabtech Oven LDO – 060E ). منخل يدوي Sieves قياس 150um و جهاز السكسوليت.

### المواد الكيميائية المستعملة

تم استعمال المواد الكيميائية الآتية Sodium P-cresol، m-phenyldiamine Hydrochloride، Sodium nitrite، Hydrochloric acid، Hydroxide اللايوني Deionized water في تحضير المحاليل. و جميعها من شركة BDH، وتم استعمال الماء المقطر.

### الانتباغيت

تم الحصول على مادة الانتباغيت المستعمل من الشركة العامة للمسح الجيولوجي حيث مصدره منطقة عكاشات في المنجم المفتوح في الصحراء الغربية والجدول (1) يوضح تحليل العناصر لطين الانتباغيت المستخدم.

### تهيئة سطح الانتباغيت

جرى تكسير الانتباغيت الى اجزاء صغيرة باستعمال الكسارة المعدنية ، ثم غسل الطين بالماء المقطر اللايوني ولعدة مرات وذلك بهدف التخلص من الاملاح والمواد الذائبة والشوائب اذ تم غسله لمدة اكثر من سبعة ايام ومن ثم تم تحويل الطين الى جهاز السكسوليت للتخلص من الايونات المتبقية . ومن ثم جفف لمدة 5 ساعات في درجة حرارة (80 °C) وبعدها طحنت المادة من جديد وتم نخلها باستعمال منخل ذي حجم حبيبي (150 µm). وشخص في جهاز حيود الاشعة السينية (XRD) وايضا في جهاز مطيافية الاشعة تحت الحمراء (FT- IR) .

### تحضير معقد (AM)(m-phenyldiamin – Attapulgit)

حضر هذا المعقد من مزج (20gm) من طين الانتباغيت مع (5gm) من مادة الميتافنيلين داي امين ثم وضع المزيج في هاون وتم اضافة قطرتين من الماء المقطر لكي يتم تسهيل عملية المزج . بعدها تم سحن المزيج لمدة نصف ساعة وترك لمدة عشرة ايام في وعاء مغلق تماما لاتمام عملية التشابك والتداخل .

### تحضير بوليمر (A-M-P)(p-cresol – m-phenyldiamin – Attapulgit)

حضر البوليمر من مزج (5gm) من المعقد (AM) مع (10ml) حامض الهيدروكلوريك (17%) ثم وضع المزيج في وعاء ثم وضع محرار داخل وعاء التفاعل ويغمر الوعاء في حمام ثلجي درجة الحرارة فيه اقل من 5° C ويترك على التحريك ، ثم تم اضافة (4.4ml) من محلول نترتيت الصوديوم NaNO<sub>2</sub> بتركيز (10%) قطرة قطرة مع التحريك الى المحلول الاول مع ابقاء المحافظة على درجة الحرارة ثابتة اقل من 5° C . اضيف 10ml من محلول هيدروكسيد الصوديوم (10%) مع 0.6g من مادة p-cresol ايضا تكون الاضافة قطرة قطرة مع التحريك والبقاء على الدرجة الحرارية دون الـ(5°C) وذلك لكي لا يحدث تفكك لملاح الدايزونيوم . ثم بعد ذلك جفف البوليمر بدرجة حرارة 45° C . ويغسل الراسب بالماء المقطر وتم متابعة نقاوة الراشح بواسطة مطيافية الاشعة المرئية/ فوق البنفسجية لحين الوصول الى امتصاصية الماء المقطر نفسها.

شخص البوليمر باستعمال جهاز (XRD)، وكذلك باستعمال جهاز مطيافية الاشعة تحت الحمراء (FT-IR)، ومجهر القوى الذرية (AFM)، والمجهر الالكتروني الماسح (SEM).

### النتائج و المناقشة

#### حيود الاشعة السينية (XRD)

يعد معدن الاتيلغايت ذا نمط بلوري من نوع (Monoclinic) وذا ابعاد خلية بلورية ،  $(a=12.78\text{\AA}, b=17.86\text{\AA}, c=5.24\text{\AA})$  ويظهر في جدول حيود الاشعة السينية الحزم الاساسية للمستويات البلورية المميزة للمعدن وكما مبين في الجدول (2). يلاحظ في الشكل (1) ان المستوي البلوري الاساسي (110) لمعدن الاتيلغايت حصل فيه تقلص او انكماش في ابعاده عن ما هو موجود في الادبيات بالنسبة للاتيلغايت العراقي [10] ويعود ذلك الى تاثر معدن الاتيلغايت بطريقة الغسل اذ ان غسل الطين بواسطة جهاز السوكسلت (Soxhlet) و تدوير الماء المقطر بواسطة هذه الطريقة عمل على ازالة معظم الكاتيونات الموجودة بين طبقات هذا المستوي مما ادى الى حصول مجال لاقترب طبقات هذا المستوي مع بعضها بواسطة التاصرات الهيدروجينية مع جزيئات الماء البينية والتي تعمل عمل جسور ربط بين طبقات هذا المستوي.

اما معدن الاتيلغايت بعد التعديل الذي يلاحظ في الشكل (2)، يلاحظ ان الحزمة  $(2\theta=19.82)$  والتي تعود الى المستوي البلوري ذي قيمة ازاحة  $(d=4.48\text{\AA})$  لم تتغير وبما ان هذه الحزمة تعود للمستوي البلوري الجانبي في وحدة الشبكية البلورية للاتيلغايت يعني ذلك ان هذا المستوي المتمثل بعرض (b) و وحدة الخلية البلورية لم يتاثر بالبلمره بسبب وجود ترابط تساهمي بين الذرات. اما باقي المستويات البلورية فتتأثر بشدة نتيجة نمو البوليمر في البعد (c) (بين طبقات الالومينوسيليكات) مما يؤدي الى فك التفاف هذه الطبقات المكونة للتراكيب الابرية ووصول طبقات معدن الاتيلغايت الى الحالة غير المرصوفة. والحزمة الاساسية التي بقيت في مخطط الحيود هي  $(2\theta=27)$  ذات ازاحة  $(d=3.33\text{\AA})$  والتي تعود لوجود معدن الكوارتز او السليكا والتي لم تتغير ولم تتاثر نتيجة البلمره، وايضا نلاحظ وجود حزمة اساسية لم تتغير عند زاوي  $(2\theta=30.8)$  وهي تعود الى وجود معدن الكلسايت او الدولومايت [11, 12] (Calcite or dolomite).

#### مطيافية الاشعة تحت الحمراء (FT-IR)

يلاحظ في طين الاتيلغايت غيرال معدل الواضح في الشكل (3)، وجود حزم عند  $3618\text{ cm}^{-1}$  تعود الى الاهتزاز الامتطاطي لمجموعة الهيدروكسيل الحرة غير المتاصرة هيدروجينيا والموجودة ضمن بنية الالومينوسيليكات Aluminosilicate في معدن الاتيلغايت. ووجود حزمتين متجاورتين عند  $3543\text{ cm}^{-1}$  و  $3404\text{ cm}^{-1}$  تعودان الى الاهتزاز الامتطاطي لمجاميع الهيدروكسيل المتاصرة هيدروجينيا والموجودة في بيئات مختلفة ضمن معدن الاتيلغايت [13]. عند تردد  $1803\text{ cm}^{-1}$  نلاحظ وجود حزمة تعود الى الاهتزاز الانحنائي لجزيئات الماء الموجودة بين طبقات الطين [14]. ويلاحظ عند تردد  $1039\text{ cm}^{-1}$  وجود حزمة قوية وعريضة تعود الى الوحدة البنائية التركيبية الاساسية في الومينا سيليكات Si-O-Si، او Al(Mg)-O-Si. [15] اما في حالة طين الاتيلغايت المعدل المبين في الشكل (4)، اذ يلاحظ بقاء مجموعة الهيدروكسيل الحرة غير المتأثرة بوجود البوليمر ولكن بالنسبة لمجموعة OH- المتاصرة هيدروجينيا (التي تربط بين طبقات الطين)، نلاحظ تاثرها نتيجة لوجود البوليمر الحاوي على عدد من مجاميع النيوكلوفيلية مثل مجموعة Azo ومجموعة phenoxy التي تعمل على الترابط الهيدروجيني مع مجاميع OH- تلك التي كانت سابقا تربط بين الطبقات وحاليا اصبحت تربط بين طبقات الطين والبوليمر. وعند  $1606\text{ cm}^{-1}$  نلاحظ ظهور حزمة امتصاص متوسطة تعود الى الاهتزاز الامتطاطي للاصرة C=C العائدة للحلقات الاروماتية الموجودة في البوليمر. اما عند الترددات (1504-  $1417\text{ cm}^{-1}$ ) يلاحظ وجود حزم متوسطة الشدة تعود الى الاهتزاز الامتطاطي لمجموعة الازو C=N [16]. اما حزمة الوحدة الاساسية التي ظهرت في السطح الغير معدل عند  $1039\text{ cm}^{-1}$ ، فانها ظهرت في السطح المعدل عند  $1036\text{ cm}^{-1}$  مما يعني ان الوحدات البنائية للطين بعد البلمره اصبحت في بنية اقل شدة نتيجة انفتاح الترتيب المتوتية للبلورات المجهرية للاتيلغايت وتحولها الى بنيات طبقة مفتوحة يتخللها البوليمر.

### مجهر القوة الذرية (Atomic Force Microscope)

يظهر شكل (5) صورة (AFM) لطين الاتبغايت قبل التعديل اذ يلاحظ توزيع حجم الدقائق الماخوذة بواسطة جهاز (AFM) ان دقائق الاتبغايت تتراوح اقطارها (45-165 nm) ويكون القطر السائد عند (92.83nm) كما ان صورة الثلاثي الابعاد لدقائق الاتبغايت المنشط قبل التعديل المبينة في الشكل (6) تظهر ارتفاع هذه الدقائق يصل الى (27.69 nm) في الشكل (7) صورة (AFM) لسطح الاتبغايت المعدل اذ اصبح توزيع اقطار الدقائق يتراوح بين (15-115 nm) كما ان القطر السائد كان (73.42 nm) مما يعني انه قل حجم دقائق الاتبغايت بعد التعديل وعند مراجعة صورة ثلاثية البعد المبينة في الشكل (8) نلاحظ تاكيد مذهبنا اليه سابقا اذ يقل ارتفاع دقائق الاتبغايت بصورة كبيرة جدا اذ وصل اقصى ارتفاع لدقائق الاتبغايت (2.53 nm).

### المجهر الالكتروني الماسح (Scanning Electron Microscope (SEM))

يلاحظ في المجهر الالكتروني الماسح لنموذج الاتبغايت غير المعدل ان البلورات المجهرية (Micro crystals) لمعدن الاتبغايت تترتب بشكل ابري [15] نتيجة التقاف طبقات الطين بشكل لولبي ويتراوح قطر البلورة (10-13)nm وباطوال مختلفة كما في الشكل (9). اما بالنسبة لطين الاتبغايت المعدل نلاحظ اختفاء الترتيب الابري لمعدن الاتبغايت وتحوله الى تراتيب تشبه ندف الورق الواضح في الشكل (10) مما يدل على زوال التقاف طبقات الطين بشكل الابري وانفتاحها نتيجة تموضع البوليمر النامي بين تلك الطبقات. ويلاحظ ايضا ان النتائج التي تم الحصول عليها من جهاز (AFM) اضافة الى صورة جهاز (SEM) تدل على تحطم البنية الطولية لبلورات الاتبغايت المجهرية من خلال فك التقاف طبقات الومينا سليكا المشكلة لمحور الطول في بلورة الاتبغايت وتحول تلك البلورات الى مايشبه ندف الورق الممزق وان هذا يحصل نتيجة تموضع ونمو البوليمر بين طبقات الومينا سليكا وداخل البلورات المجهرية لمعدن الاتبغايت وهو ما يعمل على تغيير بنيته المجهرية.

### المصادر

- 1- Yang, Li,X.; Zhang,D.; Liu,X. and Shi,L., (2016) A tandem demetalization–desilication strategy to enhance the porosity of attapulgite for adsorption and catalysis”, Chemical Engineering Science, 141, 184–194.
- 2- Shi,Y.; Zhang,Q.; Feng,L.;Xiong,Q. and Chen,J., (2014) “Preparation and adsorption characters of Cu(II)-imprinted chitosan/attapulgite polymer”, Korean J. Chem. Eng., 31(5), 821-827.
- 3- Gürses, A., (2016), “Introduction to Polymer–Clay Nanocomposites”, Taylor & Francis Group, LLC, 112-113, Turkey.
- 4- AL-Bassam, K., (2000), “The Iraqi Palygorskite Geology Mineralogy” Geochemistry, Genesis and Industrial uses, Baghdad Geosurv., 237.
- 5- Re,G., (1968), “Clay Mineralogy” Mc Graw-Hill, Inc., New York.
- 6- Harben, P. W., (2002),“Attapulgite and Sepiolite in the Industrial Minerals”, Hand book 4<sup>th</sup> ed., 22-26, UK.
- 7- Wang, L.; Wang, T.;Lv, Y. andXu, M., (2015),“Study on Organic Modification of Attapulgite with Silane Coupling Agents KH570”, International Conference on Chemical, Material and Food Engineering, Chinese Chemical Society Press, China.
- 8- Zhua, L.;Guoa, J. andLiua, P., (2016), “Effects of length and organic modification of attapulgitenanorods on attapulgite/polystyrene nanocomposite via in-situ radical bulk polymerization”, Applied Clay Science, 119, 87-95.
- 9- - Ismadji, S., (2015), "Clay Materials for Environmental Remediation", SpringerBriefs in Green Chemistry for Sustainability,5-37 UK.
- 10- Zhang, G.; Wang, H.;Guo, S.; Wang, J. and Liu, J.,(2016), “Synthesis of Cu/TiO2/organo-attapulgite fiber nanocomposite and its photocatalytic activity for degradation of acetone in air”, Applied Surface Science, 362, 257–264.

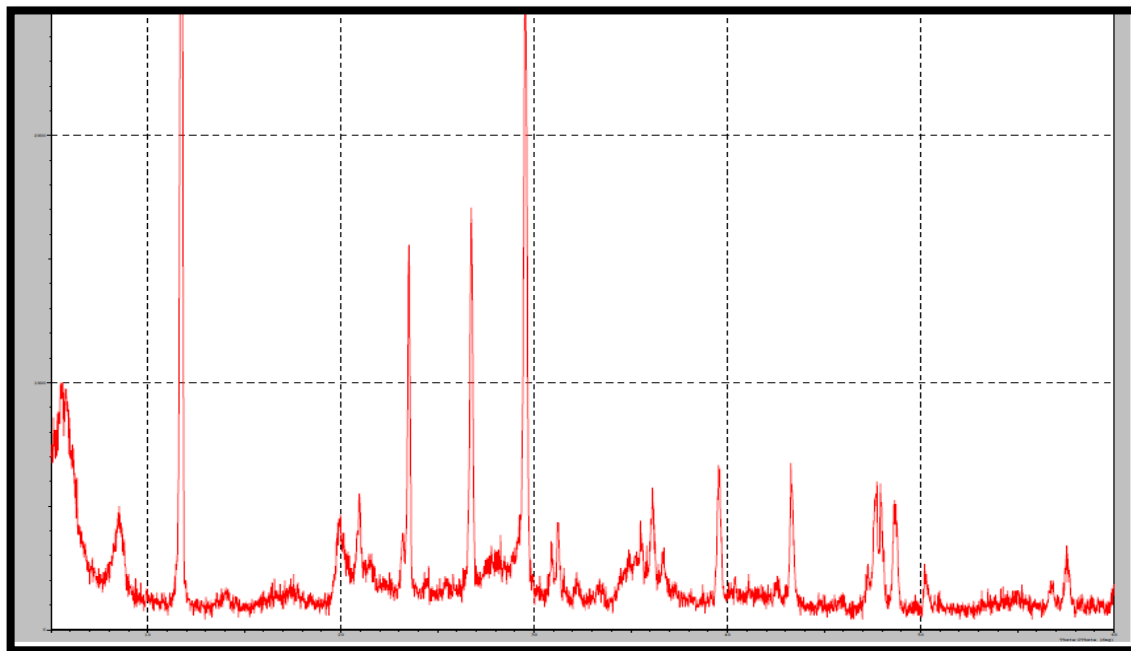
- 11- Ali, I.; Mohammed, Y. and Himdan, T.,(2013), "Melamine-AttapalgiteAndAttapalgite-Melamine- Formaldehyde Physical Interactions: Synthesis And Characterzation", Al-Mustansiriyah J. Sci, 24(1), 112.
- 12- Xie, A.; Zhou, X.; Zhou, W.;Cai, K.; Li, W. and Luo, S., (2016) "Fabrication of Pt/porous PANI using attapulgite as template for electro-oxidation of glycerol", ElectrochimicaActa, 189, 215–223.
- 13- Bradley, W., (1940), "The structural Scheme of Attapulgite" Am. Min., 25, 405-410.
- 14- Che,C.;Glotch,T.;Bish,D.; Michalski,J. and Xu,W.,(2011), "Spectroscopic study of the dehydration and/or dehydroxylation of phyllosilicate and zeolite minerals", Journalof Geophysical Research, 116, 22.
- 15- Zarubin, D., (1999), "Infrared Spectra of Hydrogen Bonded Hydroxyl Groups in Silicate Glasses. A Re-Interpretation", Phys. Chem. Glasses, 40(4), 184-192.
- 16- Joseph,J. and Jemmis, E., (2007), "Red-, Blue-, or No-Shift in Hydrogen Bonds: A Unified Explanation", Jour. Amer. Chem. Soc.", 129, 4620-4632.

### جدول (1) يمثل التحليل الكيميائي لمعدن التبلغايت

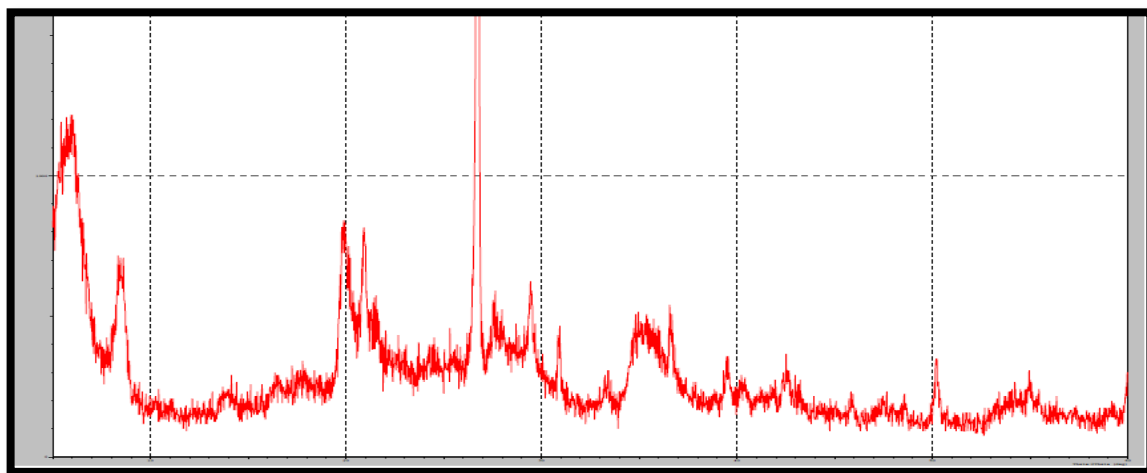
Compound	Wt%
SiO <sub>2</sub>	44.66%
Al <sub>2</sub> O <sub>3</sub>	13.36%
CaO	13.71%
Fe <sub>2</sub> O <sub>3</sub>	4.20%
MgO	3.20%
SO <sub>3</sub>	0.23%
Loss on ignition	17.97
Total	97.33

### جدول (2) يوضح الحزم الاساسية لمعدن الاتبلغايت

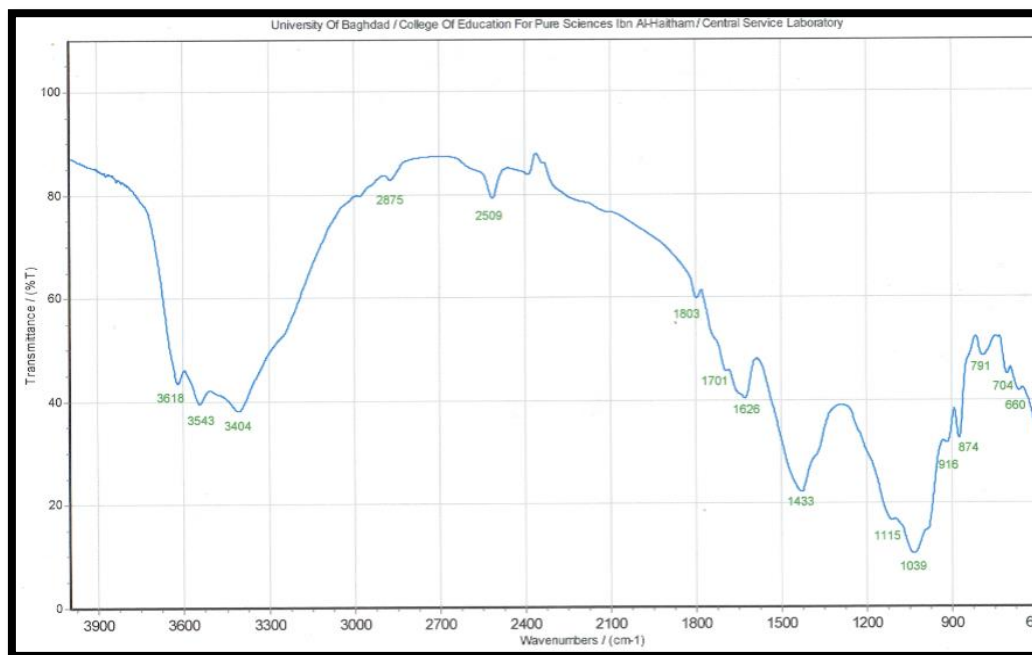
Number of peak	2Theta	hkl	d-spacing	2d
1	11.73	[110]	7.54	15.02
2	19.94	[040]	4.45	8.9
3	23.5	[220]	3.77	7.54
4	29.52	[201]	3.02	6.04
5	35.52	[330]	2.53	5.06
6	43.73	[600]	2.09	4.18
7	47.94	[440]	1.90	3.8



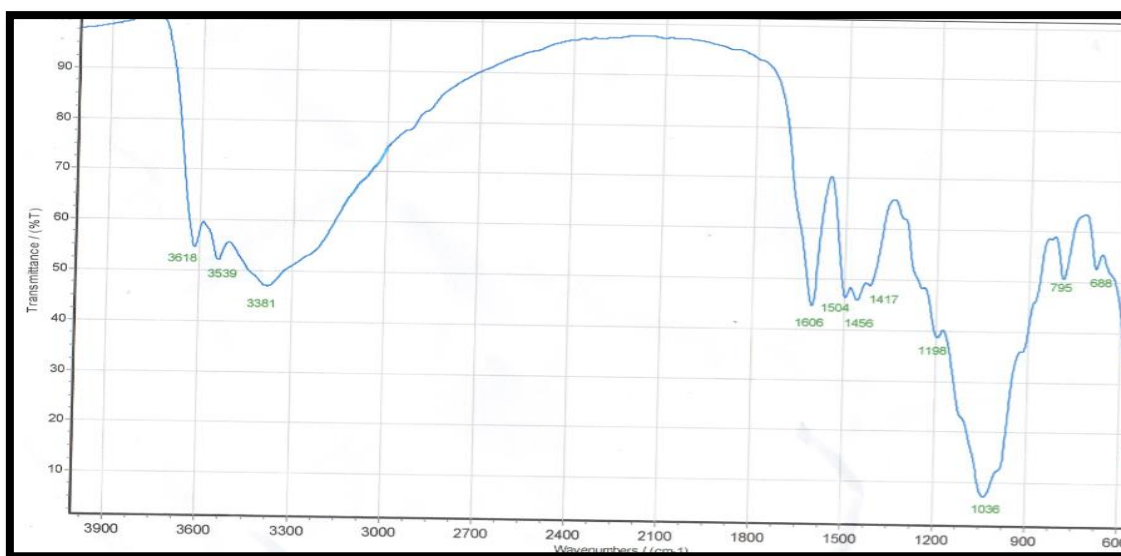
الشكل(1): مخطط (XRD) لمعدن الاتبغايت



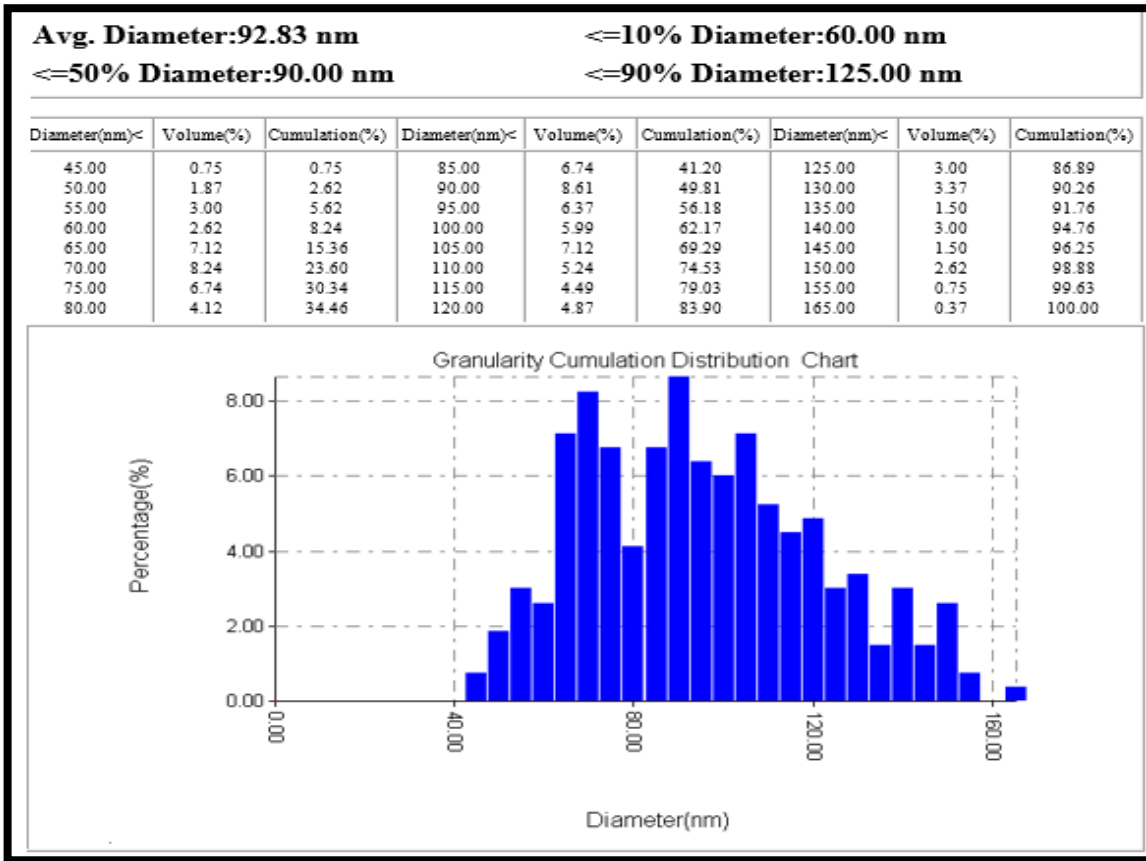
شكل (2): مخطط (XRD) لمعدن الاتبغايت المعدل



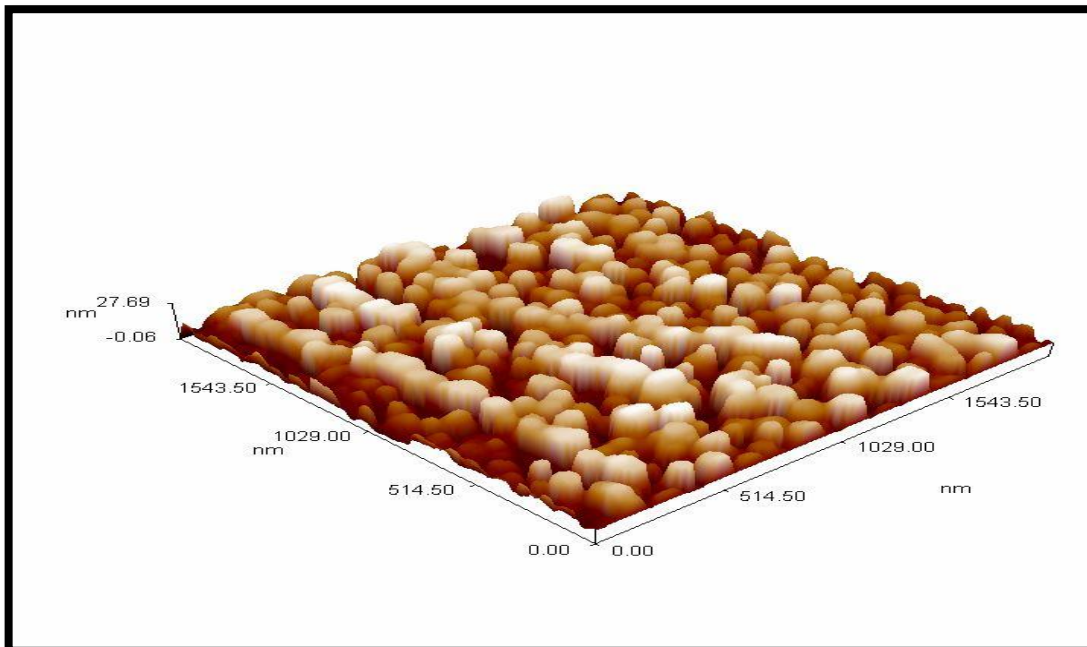
شكل (3): طيف الاشعة تحت الحمراء (FT-IR) لسطح الاتبغايت



شكل (4): طيف الاشعة تحت الحمراء (FT-IR) لسطح الاتبغايت المعدل.

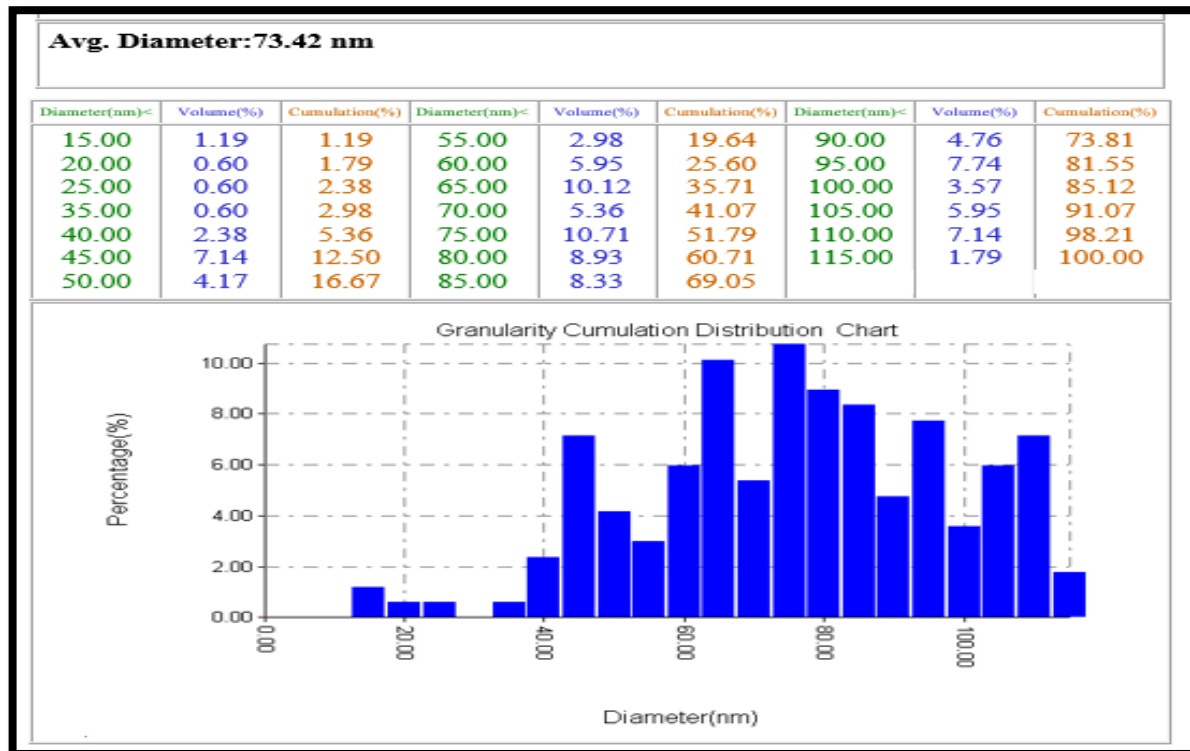


شكل (5): صورة (AFM) لسطح الاتيلغايت

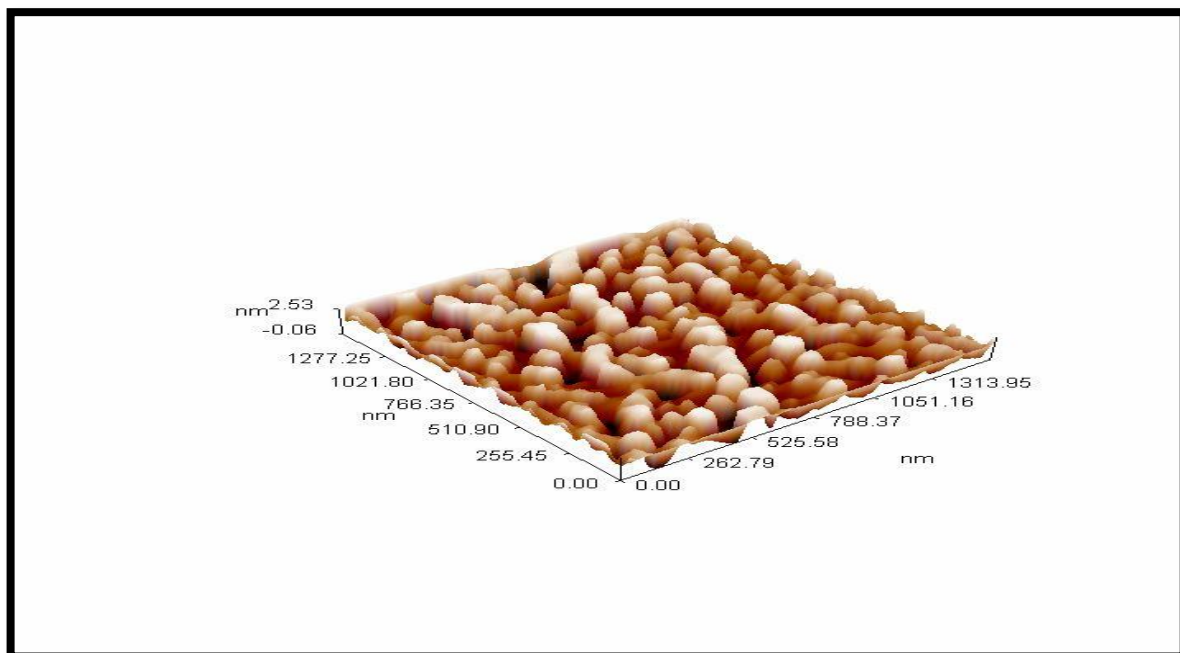


شكل (6): صورة ثلاثية الابعاد لسطح الاتيلغايت بواسطة جهاز (AFM)

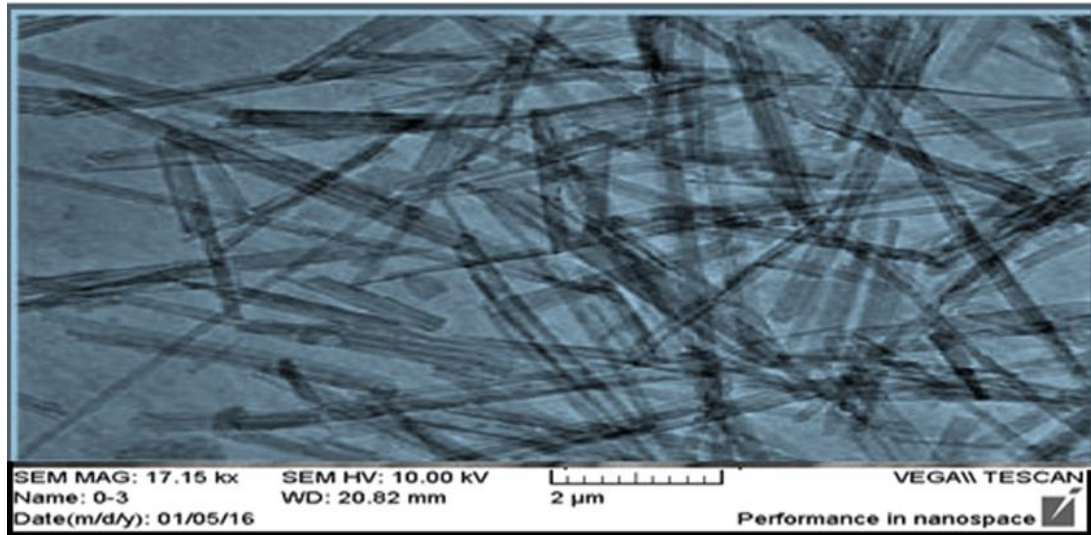




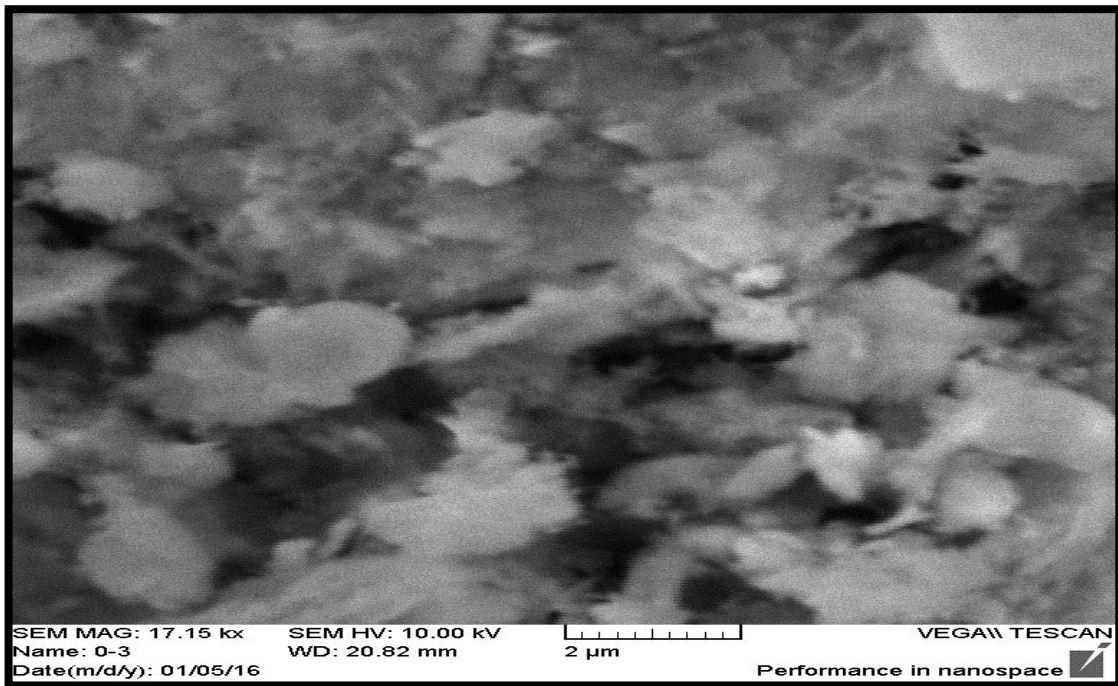
شكل (7): صورة (AFM) لسطح الاتبغايت المعدل



شكل (8): صورة ثلاثية الابعاد لسطح الاتبغايت المعدل بواسطة جهاز (AFM)



شكل(9): صورة (SEM) لسطح الاتبغايت



شكل (10): صورة SEM لسطح الاتبغايت بعد التعديل



# Preparation and Characterization of the Complex Attuplgite-polyazo m-phenelen p-kresole as a Composite nano Material

**Alla Abdulkareem Ibrahim**

**Takialdin Abdulhadi Himdan**

**Yousif Ibrahim MohammedAbuzaid**

Dept. of Chemistry/College of Education for Pure Science( Ibn Al Haitham)/  
University of Baghdad

**Received in:19/June/2016,Accepted in:6/September/2016**

## Abstract

In this study a new composite nano material was prepared and characterized through the polymerization of inter attuplgie layered m-phenylendiamine with p-kresol. The results indicated that the propagated polymer separated the clay aluminosilicate layers as a two dimensional nano-sheets soaked in the prepared polymer matrix with losing the original fibrous structure of Attuplgite clay.

**Key words:** composite materials, Azo polymers, Attuplgite, m-phenylendiamine, p-kresol.